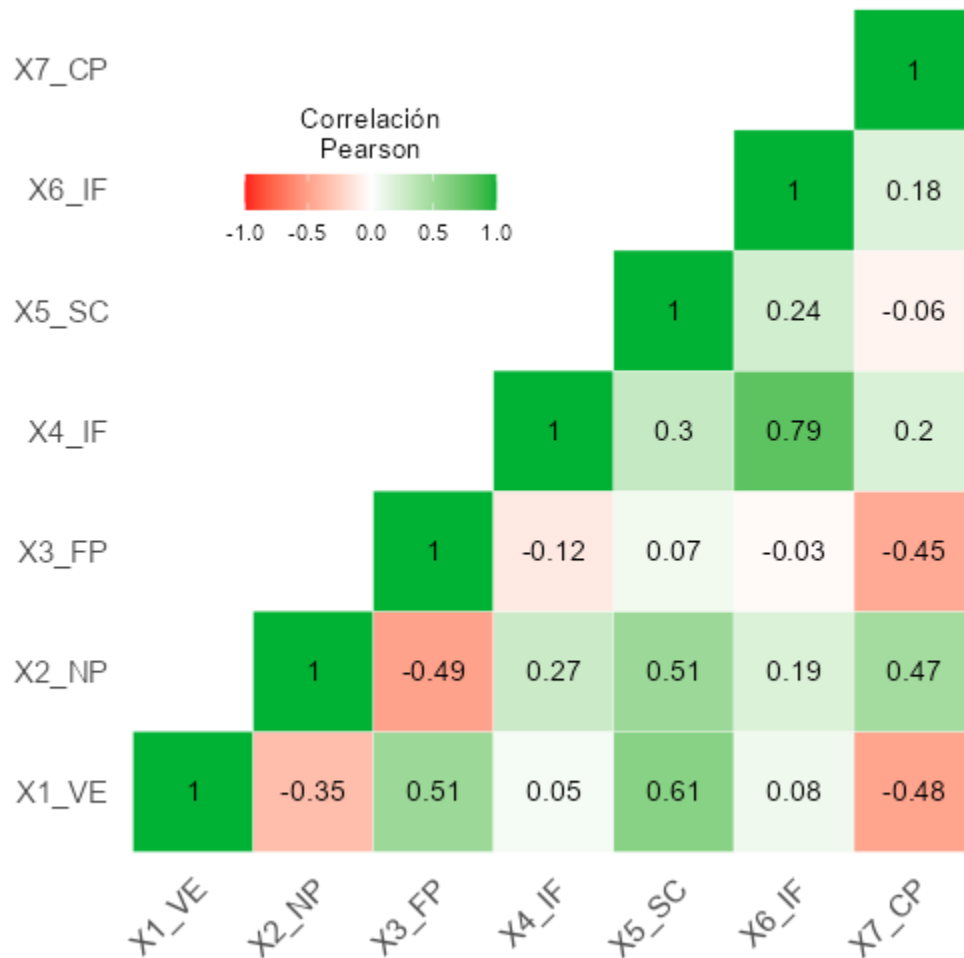


## Mapa de calor de Correlación



Se observa el comportamiento de las variables y la correlación que tienen. Sin embargo, la correlación mínima negativa de la variable X4\_IF con X3\_FP, además, se observa una correlación con gran significancia en la variable X6\_IF con X4\_IF.

# Análisis de Componentes Principales

Cargas de los Componentes					
		Componente			
		1	2	Unicidad	
X1_VE		-0.627	0.515	0.342	
X2_NP		0.759		0.420	
X3_FP		-0.730	0.336	0.355	
X4_IF		0.494	0.798	0.119	
X6_IF		0.425	0.832	0.128	
X7_CP		0.766		0.385	
Nota. Se utilizó la rotación ‘ninguno’					

Las variables con mejor carga son: 1, 3, 4, 6

# Estadísticas de los Componentes

Correlaciones Entre Componentes					
		1	2		
1		—	0.00		
2			—		

Al parecer no existe correlación.

## Comprobaciones de Supuestos

Prueba de Esfericidad de Bartlett					
$\chi^2$		gl		p	
206		15		< .001	

Los supuestos se cumplen por su p-valor de < 0.001

Se observa que la variable X2\_NP su MSA es la que tiene más valor a diferencia de las otras variables. Sin embargo, los supuestos se cumplen.

Medida de Idoneidad del Muestreo KMO			
		MSA	
Global		0.665	
X1_VE		0.721	
X2_NP		0.788	
X3_FP		0.748	
X4_IF		0.542	
X6_IF		0.532	
X7_CP		0.779	

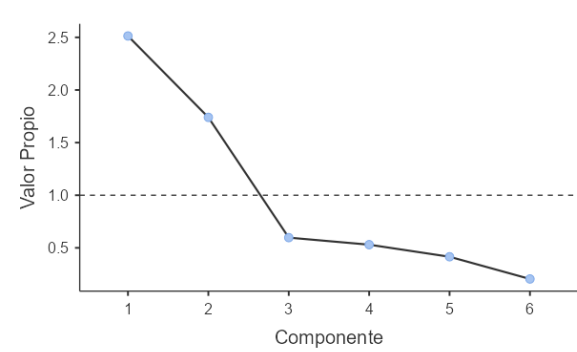
## Valores Propios

Valores Propios Iniciales							
Componente		Valor Propio		% de la Varianza		% Acumulado	
1		2.513		41.89		41.9	
2		1.740		29.00		70.9	
3		0.597		9.95		80.8	

Valores Propios Iniciales							
Componente		Valor Propio		% de la Varianza		% Acumulado	
4		0.530		8.84		89.7	
5		0.415		6.92		96.6	
6		0.204		3.40		100.0	

El componente 1 tiene mayor valor propio y % de la varianza, sin embargo, el componente 6 tiene un 100% de acumulación .

Gráfica de Sedimentación



Análisis de Componentes Principales

Cargas de los Componentes					
		Componente			
		1	2	Unicidad	
X1_VE		-0.788		0.342	
X2_NP		0.714		0.420	

Cargas de los Componentes					
		Componente			
		1	2	Unicidad	
X3_FP		-0.803		0.355	
X4_IF			0.933	0.119	
X6_IF			0.934	0.128	
X7_CP		0.764		0.385	
Nota. Se utilizó la rotación 'varimax'					

Las variables con mejor carga en sus componentes son: 4 y 6

Estadísticas de los Componentes

Resumen					
Componente		SC Cargas	% de la Varianza		% Acumulado
1		2.37	39.5		39.5
2		1.88	31.4		70.9

Una vez observado los resultados parece que no existe correlación.

Correlaciones Entre Componentes				
		1		2
1		—		0.00
2				—

## Comprobaciones de Supuestos

Prueba de Esfericidad de Bartlett				
$\chi^2$		gl		p
206		15		< .001

Los supuestos se cumplen

p-valor de < 0.001

Las comprobaciones de los supuestos en las variables X1\_VE, X2\_NP, X3\_FP, Y X7\_CP se encuentran arriba de 0.5, mientras que X4\_IF y X6\_IF su MSA se encuentran en 0.5

Medida de Idoneidad del Muestreo KMO				
		MSA		
Global		0.665		
X1_VE		0.721		
X2_NP		0.788		

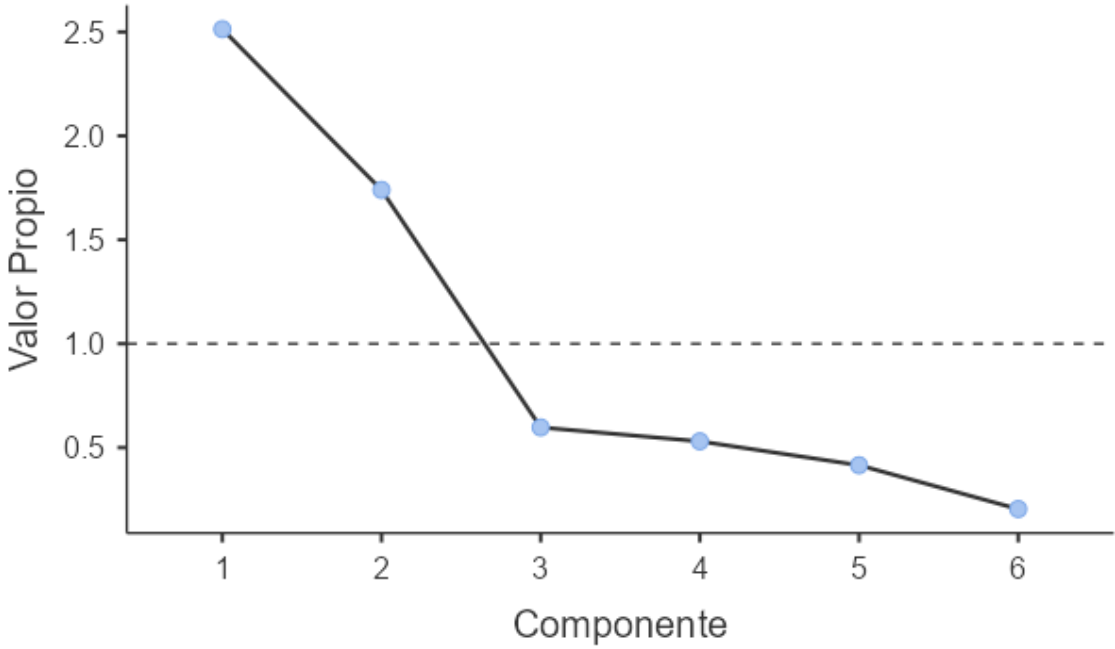
Medida de Idoneidad del Muestreo KMO			
		MSA	
X3_FP		0.748	
X4_IF		0.542	
X6_IF		0.532	
X7_CP		0.779	

## Valores Propios

Valores Propios Iniciales							
Componente		Valor Propio		% de la Varianza		% Acumulado	
1		2.513		41.89		41.9	
2		1.740		29.00		70.9	
3		0.597		9.95		80.8	
4		0.530		8.84		89.7	
5		0.415		6.92		96.6	
6		0.204		3.40		100.0	

El componente 1 y 2 su valor propio es mayor a 1, el % de la varianza de 1 y 2 son mayor a comparación de los demás componentes. Sin embargo, el componente 6 tiene un 100% acumulado. En la gráfica se observan 2 componentes arriba de 1.

**Gráfica de Sedimentación**



**Análisis de Componentes Principales**



Cargas de los Componentes							
		Componente					
		1		2		Unicidad	
X1_VE		0.790				0.342	
X2_NP		-0.711				0.420	
X3_FP		0.803				0.355	
X4_IF				0.934		0.119	
X6_IF				0.934		0.128	
X7_CP		-0.762				0.385	
Nota. Se utilizó la rotación 'quartimax'							

Las variables con mejor carga son: 4 y 6

Estadísticas de los Componentes

Resumen							
Componente		SC Cargas		% de la Varianza		% Acumulado	
1		2.36		39.4		39.4	
2		1.89		31.5		70.9	

Al parecer no existe correlación

Correlaciones Entre Componentes				
		1		2
1		—		0.00
2				—

Comprobaciones de Supuestos

Prueba de Esfericidad de Bartlett				
$\chi^2$		gl		p
206		15		< .001

Los supuestos se cumplen

p-valor de < 0.001

Las comprobaciones de los supuestos en las variables X1\_VE, X2\_NP, X3\_FP, Y X7\_CP se encuentran arriba de 0.5, mientras que X4\_IF y X6\_IF su MSA se encuentran en 0.5

Medida de Idoneidad del Muestreo KMO			
		MSA	
Global		0.665	
X1_VE		0.721	
X2_NP		0.788	

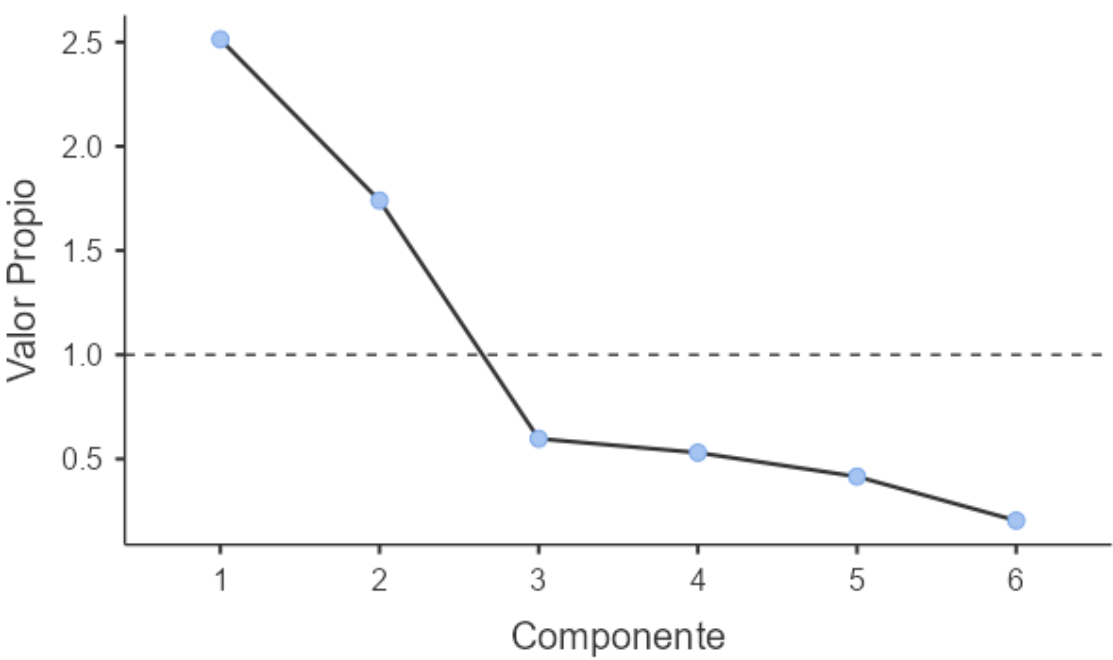
Medida de Idoneidad del Muestreo KMO			
		MSA	
X3_FP		0.748	
X4_IF		0.542	
X6_IF		0.532	
X7_CP		0.779	

## Valores Propios

Valores Propios Iniciales							
Componente		Valor Propio		% de la Varianza		% Acumulado	
1		2.513		41.89		41.9	
2		1.740		29.00		70.9	
3		0.597		9.95		80.8	
4		0.530		8.84		89.7	
5		0.415		6.92		96.6	
6		0.204		3.40		100.0	

El componente 1 y 2 su valor propio es mayor a 1, el % de la varianza de 1 y 2 son mayor a comparación de los demás componentes. Sin embargo, el componente 6 tiene un 100% acumulado. En la gráfica se observan 2 componentes arriba de 1.

# Gráfica de Sedimentación



## Análisis de Componentes Principales

Cargas de los Componentes					
		Componente			
		1	2	Unicidad	
X1_VE		0.813		0.342	
X2_NP		-0.696		0.420	
X3_FP		0.810		0.355	
X4_IF			0.936	0.119	
X6_IF			0.942	0.128	
X7_CP		-0.754		0.385	

Cargas de los Componentes			
		Componente	
	1	2	Unicidad
Nota. Se utilizó la rotación 'promax'			

Las variables con mejor carga en sus componentes son: 4 y 6

## Estadísticas de los Componentes

El componente 2 tiene un acumulado de 70.9 %							
Componente		SC Cargas		% de la Varianza		% Acumulado	
1		2.37		39.4		39.4	
2		1.89		31.4		70.9	

Correlaciones Entre Componentes					
		1		2	
1		—		-0.162	
2				—	

El componente 2 tiene una correlación negativa

## Comprobaciones de Supuestos

Prueba de Esfericidad de Bartlett					
$\chi^2$		gl		p	
206		15		< .001	

Los supuestos se cumplen por su p-valor de < 0.001

Medida de Idoneidad del Muestreo KMO			
		MSA	
Global		0.665	
X1_VE		0.721	
X2_NP		0.788	
X3_FP		0.748	
X4_IF		0.542	
X6_IF		0.532	
X7_CP		0.779	

Los supuestos se cumplen, las variables con mejor MSA son X4\_IF Y X6\_IF

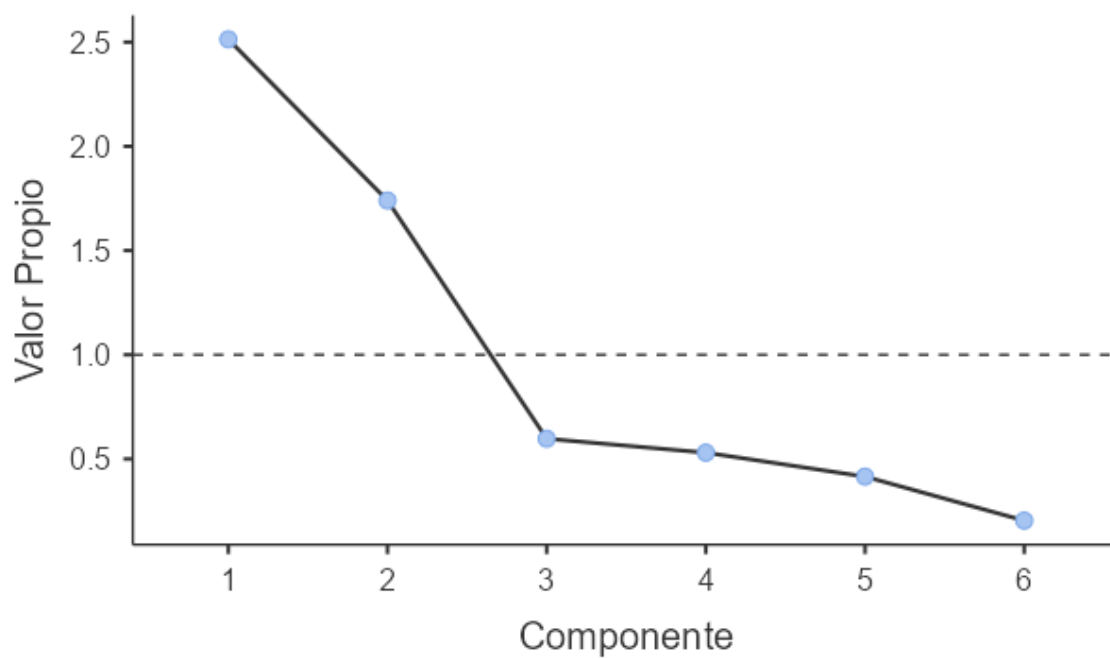
Valores Propios

Valores Propios Iniciales					
Componente		Valor Propio		% de la Varianza	
1		2.513		41.89	
				% Acumulado	
				41.9	

Valores Propios Iniciales							
Componente		Valor Propio		% de la Varianza		% Acumulado	
2		1.740		29.00		70.9	
3		0.597		9.95		80.8	
4		0.530		8.84		89.7	
5		0.415		6.92		96.6	
6		0.204		3.40		100.0	

El componente 1 y 2 su valor propio es mayor a 1, el % de la varianza de 1 y 2 son mayor a comparación de los demás componentes. Sin embargo, el componente 6 tiene un 100% acumulado. En la gráfica se observan 2 componentes arriba de 1

## Gráfica de Sedimentación



## Análisis de Componentes Principales

Cargas de los Componentes									
		Componente							
		1		2		Unicidad			
X1_VE		0.803				0.342			
X2_NP		-0.700				0.420			
X3_FP		0.806				0.355			
X4_IF				0.933		0.119			
X6_IF				0.937		0.128			
X7_CP		-0.755				0.385			
Nota. Se utilizó la rotación ‘oblimin’									

Las variables con mejor carga en sus componentes son: 4 y 6

## Estadísticas de los Componentes



Resumen							
Componente		SC Cargas		% de la Varianza		% Acumulado	
1		2.37		39.4		39.4	
2		1.89		31.4		70.9	

El componente 2 tiene un acumulado de 70.9 %

Correlaciones Entre Componentes					
		1		2	
1		—		-0.109	
2				—	

El componente 2 tiene una correlación negativa

Comprobaciones de Supuestos

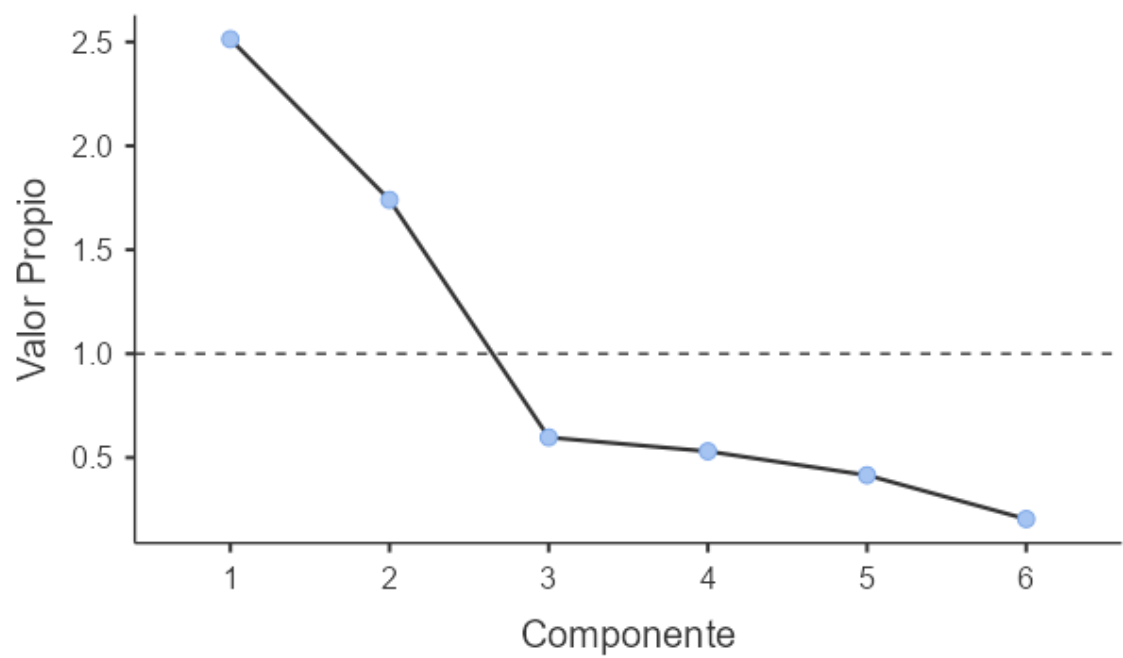
Prueba de Esfericidad de Bartlett					
$\chi^2$		gl		p	
206		15		< .001	

Los supuestos se cumplen por su p-valor de < 0.001



El componente 1 y 2 su valor propio es mayor a 1, el % de la varianza de 1 y 2 son mayor a comparación de los demás componentes. Sin embargo, el componente 6 tiene un 100% acumulado. En la gráfica se observan 2 componentes arriba de 1

Gráfica de Sedimentación



**Análisis de Componentes Principales**

Cargas de los Componentes					
		Componente			
		1	2	Unicidad	
X1_VE		0.805		0.342	
X2_NP		-0.703		0.420	
X3_FP		0.808		0.355	
X4_IF			0.931	0.119	

Cargas de los Componentes					
		Componente			
		1	2	Unicidad	
X6_IF			0.937	0.128	
X7_CP		-0.759		0.385	
Nota. Se utilizó la rotación 'simplimax'					

Las variables con mejor carga en sus componentes son: 4 y 6

Estadísticas de los Componentes

Resumen					
Componente		SC Cargas		% de la Varianza	
				% Acumulado	
1		2.38		39.6	39.6
2		1.88		31.3	70.9

El componente 2 tiene un acumulado de 70.9 %

Correlaciones Entre Componentes					
		1	2		
1		—	-0.132		
2			—		

El componente 2 tiene una correlación negativa

## Comprobaciones de Supuestos

Prueba de Esfericidad de Bartlett		
$\chi^2$	gl	p
206	15	< .001

Los supuestos se cumplen por su p-valor de < 0.001

Medida de Idoneidad del Muestreo KMO			
		MSA	
Global		0.665	
X1_VE		0.721	
X2_NP		0.788	
X3_FP		0.748	
X4_IF		0.542	
X6_IF		0.532	
X7_CP		0.779	

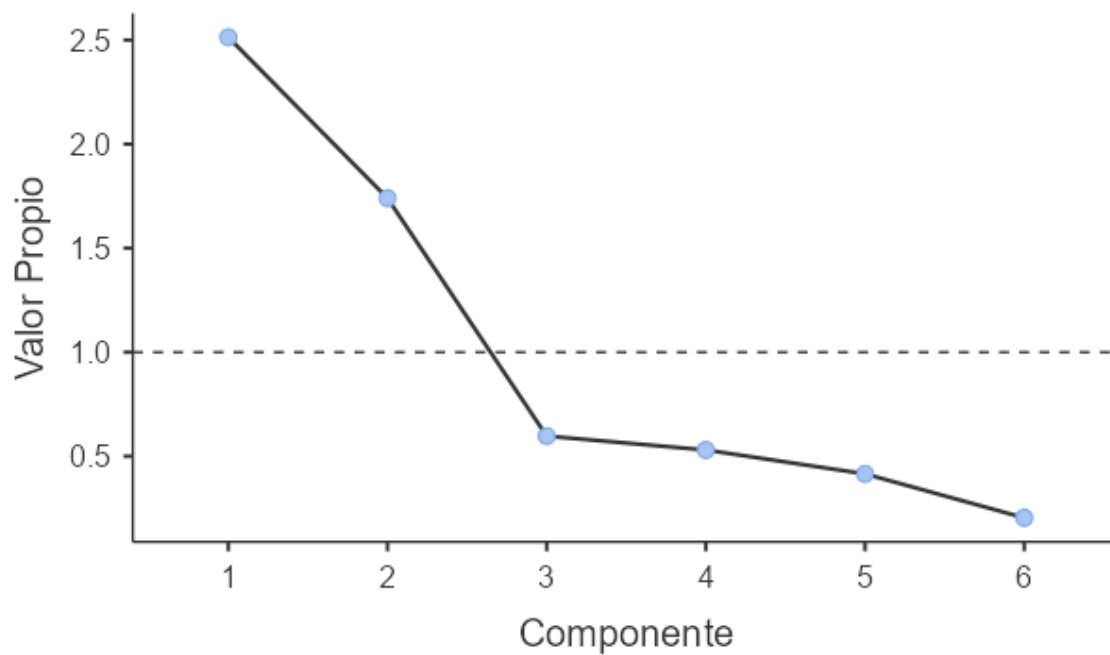
Los supuestos se cumplen, las variables con mejor MSA son X4\_IF Y X6\_IF

## Valores Propios

Valores Propios Iniciales							
Componente		Valor Propio		% de la Varianza		% Acumulado	
1		2.513		41.89		41.9	
2		1.740		29.00		70.9	
3		0.597		9.95		80.8	
4		0.530		8.84		89.7	
5		0.415		6.92		96.6	
6		0.204		3.40		100.0	

El componente 1 y 2 su valor propio es mayor a 1, el % de la varianza de 1 y 2 son mayor a comparación de los demás componentes. Sin embargo, el componente 6 tiene un 100% acumulado. En la gráfica se observan 2 componentes arriba de 1

Gráfica de Sedimentación



Finalmente, se observa que la variable 4 y 6 tienen mejor correlación en las rotaciones excepto a la rotación “ninguna”.